

III-41 粘土のレオロジー特性について

京都大学防災研究所 正員 村山朔郎
京都大学大学院 学生員の飯田邦夫

研究目的および方針 粘土骨格のレオロジー特性の表示には既に柴田村山によって提案された力学モデル⁽¹⁾があるが、さらに確率的考察のもとに改良してクリーフと応力緩和の両特性の結びつきを一層明らかにすることことができた⁽²⁾。ここではこれら両特性の関連を実験的に検討するとともに、粘土骨格の力学モデルに用いられた諸力学要素の温度依存性や強度との関連特性について明らかにし、粘土の基本特性の解明に資したいと考えている。そのためここでは、試料として比較的性質の均一な大阪市上町台地の洪積層より採取した乱さない粘土を用いて次の実験を行なった。(1) 温度T一定、初期ヒズミε₀一定の変化の応力緩和試験、(2) T一定、ε₀一定の変化の応力緩和試験、(3) T一定、圧縮力P一定の変化のクリーフ試験、(4) ε₀一定、T変化のクリーフ試験。

実験方法および試料 実験に用いた粘土の物性は、粘土分43%、シルト38%、砂17%、比重2.57、LL76.2%、PL30.7%、P_c=3.2kg/cm²である。供試体は直径2.6cm、高さ8.0cmの円柱形に成形し、これ応力緩和試験ではレオメータの水室セルに、クリーフ試験では3軸セルにセットして、別に用意した温度調節装置をもなめた恒温水槽とパイプで連結して、恒温水を循環させ供試体の温度をつねに一定にした。

実験結果および考察 温度ε₀を10°C、20°C、30°C、40°C、に達せし、各温度について初期ヒズミε₀を0.25%から2%まで数段階に変化させた。このときの応力と時間tの関係は図-1に示すように直線的に減少し、ε₀の値により異なった有効強度に漸近する。このとき初期応力σ_{t=0}と終極応力σ_{t→∞}とから、

$$\sigma_{t=0} = E_1 \epsilon_0, \quad \sigma_{t \rightarrow \infty} = \{E_1 E_2 / (E_1 + E_2)\} \epsilon_0 \quad (1)$$

を用いE₁、E₂を求め、Tをパラメータにε₀とtの関係を求めると図-2となる。

この図からE₁、E₂の値はε₀が1%以下では一定になるがそれ以上ではE₁とともに減少する。ε₀=1%を加えたときの応力はσ₀に一致するから、ε₀=1%は挙がるヒズミと思われる。図-1から応力緩和速度-dσ/dlogtとε₀の関係を図示すると図-3となり、-dσ/dlogtにやはりε₀=1%で折れ曲が現われる。-dσ/dlogtとε₀の関係は、 $-d\sigma/d\log t = E_2 (E_0 - \sigma_0/E_1) / B_2 (E_1 + E_2)$ (2)

で与えられるが上の結果はε₀。

が1%以下では上式と一致する。

(2)式から図-3の勾配は $E_2^2 / B_2 (E_1 + E_2)$ に相当。したがってこの勾配と

図-2のE₁、E₂の値からB₂、E₂の値

が求まる。B₂、E₂のE₀との関係

は図-4で示され、ε₀=1%以下

ではほぼ一定になる。ついで

これらの結果をε₀=constで

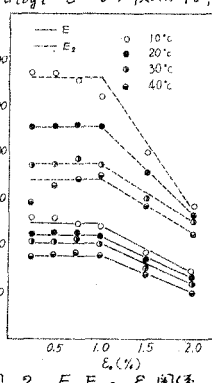


図-2. E₁、E₂～ε₀の関係

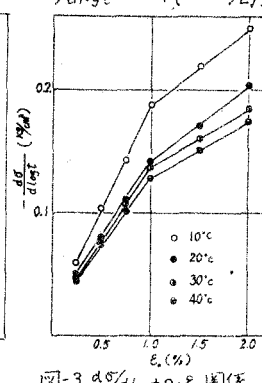


図-3. -dσ/dlogt～ε₀の関係

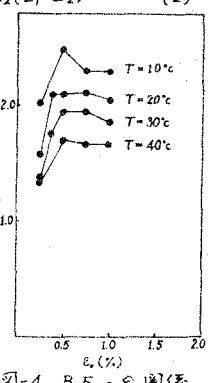


図-4. B₂、E₂～ε₀の関係

温度依存性を調べた。図-5は E_1, E_2 とTの関係を表し、 E_1, E_2 はTとともに減少する。図-6は $-d\log t$ とTの関係を表し、 $-d\log t$ はTとともに減少する。

図-7は B_2E_2 ～Tの関係で B_2E_2 もTとともに減少する。

ついでクリーフ試験結果について述べる、T一定

でひずみパラメータにすると、ヒズミ時間対数関

係が応力緩和の場合と同様直線性を示す。力学

モデルからクリーフ速度 $d\log t$ と ϵ_0 および

Tの関係は $\frac{d\log t}{d\log \sigma} = (\sigma - \sigma_0)B_2E_2 = (\sigma - \sigma_0)T/B_{20}E_2$ (3)

とすれば実験結果は図-8の $d\log t$ と σ の関係、図-9の $d\log t$ とTの関係を表す圖に示される。図-8から $d\log t$ とTの直線性を根柢温度で表わすと、

$d\log t = (0 - 0.2)(\theta + 273)/B_{20}E_2 = 0.0018(\theta + 10) - (4)$

となる。(3)式を用いてヒズミ時間対数曲線の勾配を知ると B_2E_2 の値が求められる。

B_2E_2 の値は温度が一定であると上限降伏値 σ_u までのひ

では一定であるが、図-7に▲印で示されのようにTが大きくなると

減少する。その値は応力緩和から求めたものとはほぼ一致する。

(4)式で示すように $d\log t$ とひずみ直線関係にあると、 σ と E_2 が σ_u 以下の応力では温度に関係なくひずみ比が一定であると若く、その比を α とすると(2)式から

$$-d\log t = \alpha \cdot 0.2 \sigma / (AB_{20}^2(1+\alpha)) \times (\theta + 273)^2 / (\theta + 10) - (5)$$

となり、 $-d\log t$ は θ と σ 曲線の関係にあることがわかる。これは

図-6と同じ傾向をもつ。以上の実験結果をまとめると

(1)応力の緩和速度はT=一定では初期ヒズミ ϵ_0 に比例し、 ϵ_0 =一定ではTとともに減少する。

(2)クリーフのヒズミ速度はT=一定に比例する直線となり、 $d\log t$ ～T関係の直線を外挿する

$\theta = -10^\circ C$ で横軸をきる。(3)クリーフのヒズミ～時間対数関係の勾配から求めた B_2E_2 の値は、応力緩

和速度から求めた B_2E_2 とはほぼ一致する。

またその値はTとともに減少する。

(4)柴田・村山のモデルで(3)の結果が得られ、応力緩和とクリーフを結びつけようとすることができる。

(5)弾性係数 E_2 は上限降伏値以下では一定であるが、上限降伏値以上では降伏し減少する。また温度が上昇すると減少する。

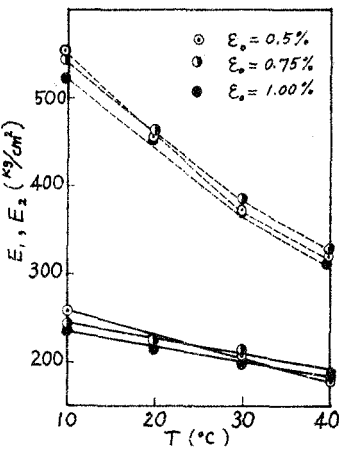
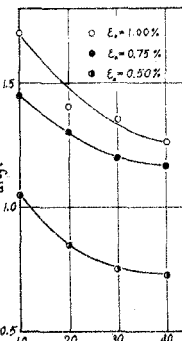


図-5 E_1, E_2 ～T関係.

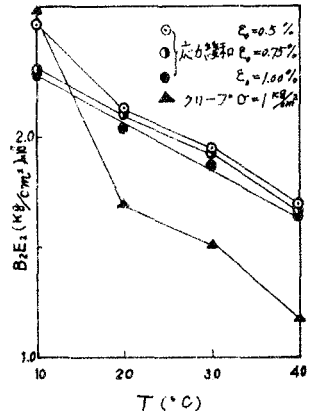


図-7 B_2E_2 ～T関係.

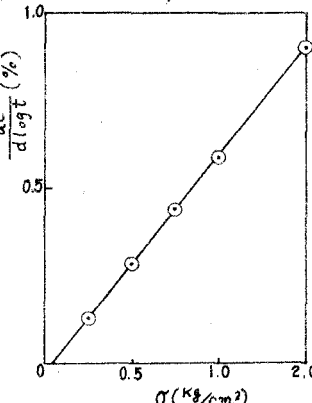


図-8 $d\log t$ ～ σ 関係.

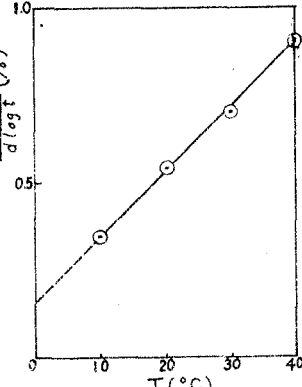


図-9 $d\log t$ ～T関係.

参考文献 (1)村山柴田; 土木学会論文集 No.40, 1956. (2)村山; 材料 Vol.14, No.139, 1965, pp.282~288.